

MAM (81-10)

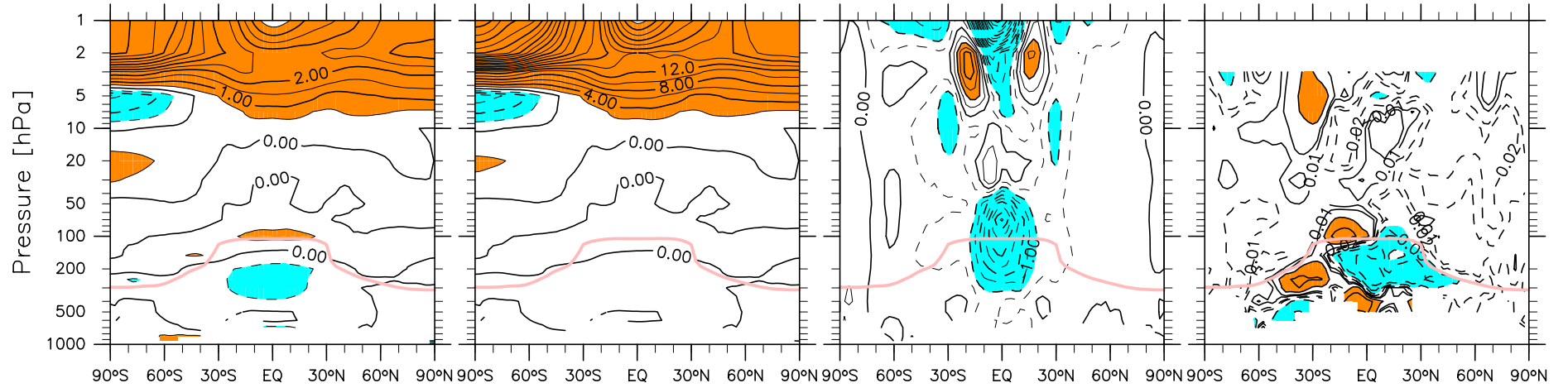
CFSR - REM

(a) T [K]

(b)  $\theta$  [K]

(c) u [m/s]

(d)  $v_{res}$  [m/s]

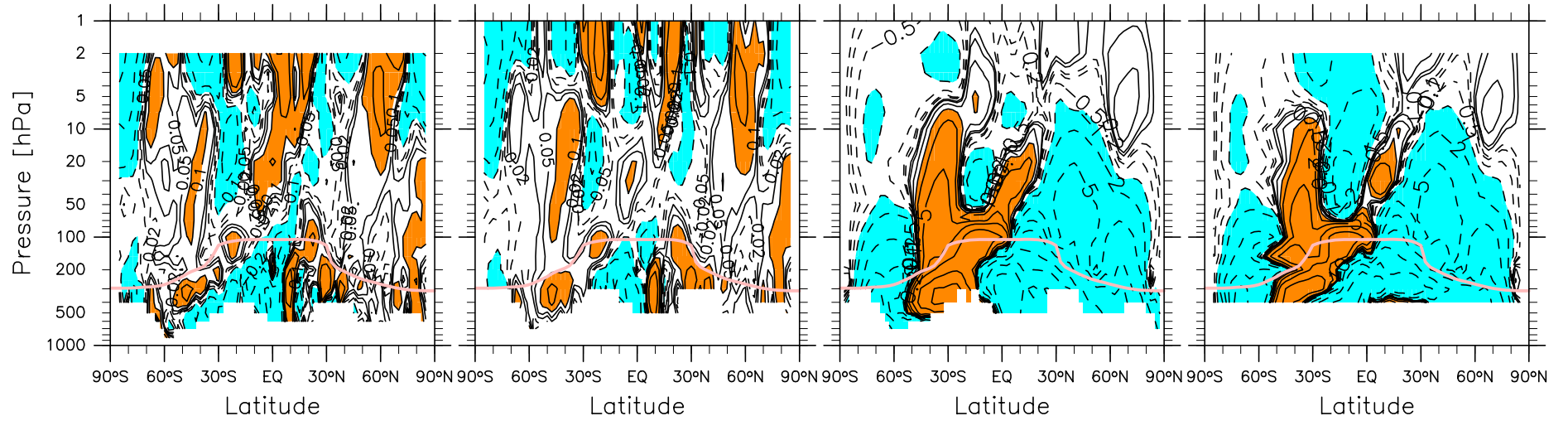


(e)  $w_{res}$  [mm/s]

(f)  $w_{res}$  from  $\Psi_{vres}$  [mm/s]

(g)  $\Psi_{vres}$  [kg/m/s]

(h)  $\Psi_{wres}$  [kg/m/s]



MAM (81-10)

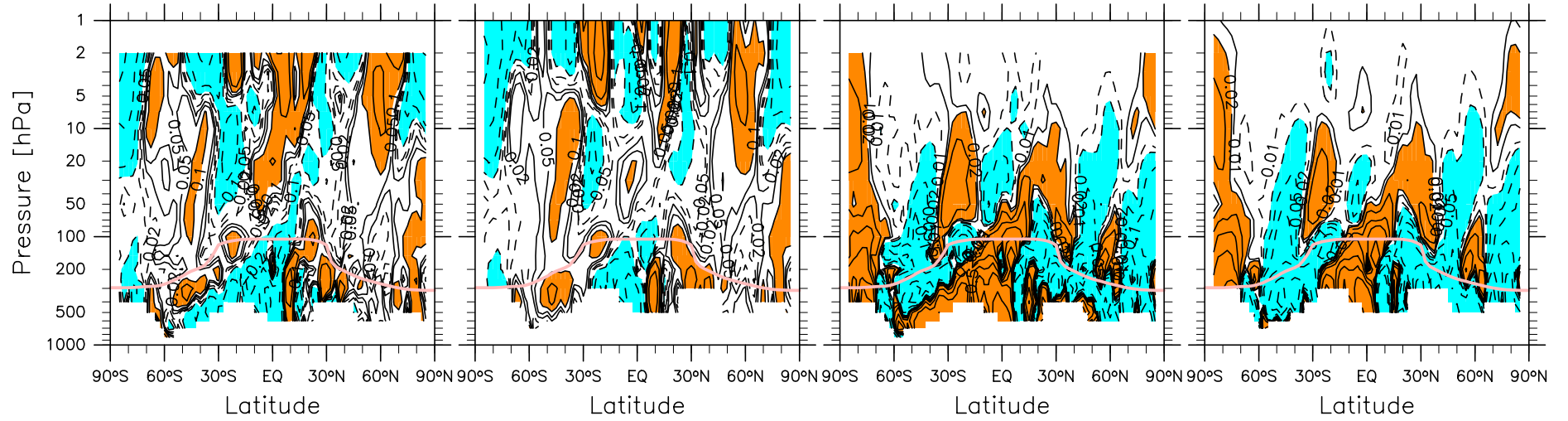
CFSR - REM

(a)  $w_{res}$  [mm/s]

(b)  $w_{res}$  from  $\psi_{vres}$  [mm/s]

(c)  $\omega_{res}$  [mPa/s]

(d)  $\omega_{res}$  from  $\psi_{vres}$  [mPa/s]



MAM (81-10)

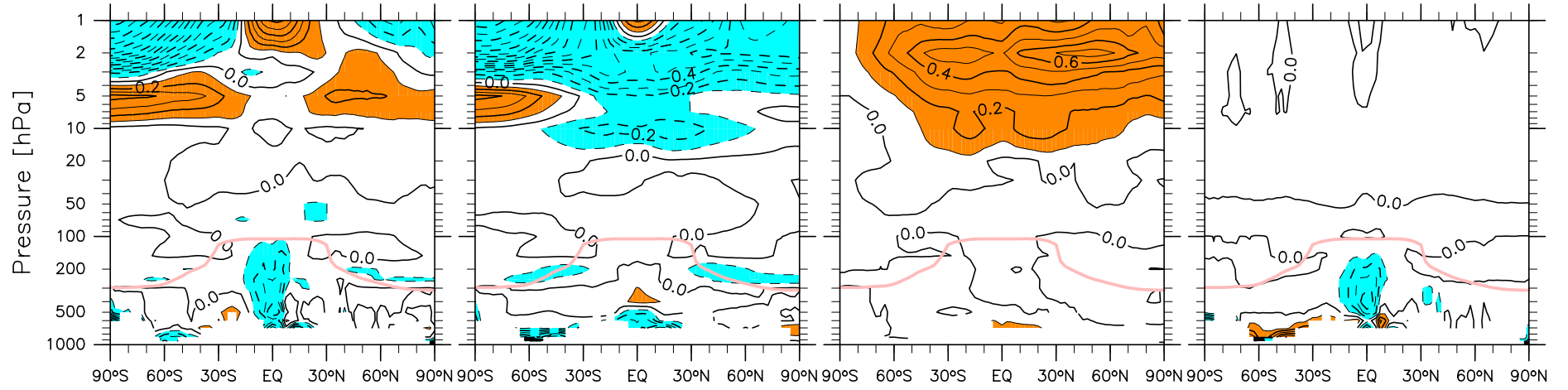
CFSR - REM

(a)  $Q_{total}$  [K/d]

(b)  $Q_{longwave}$  [K/d]

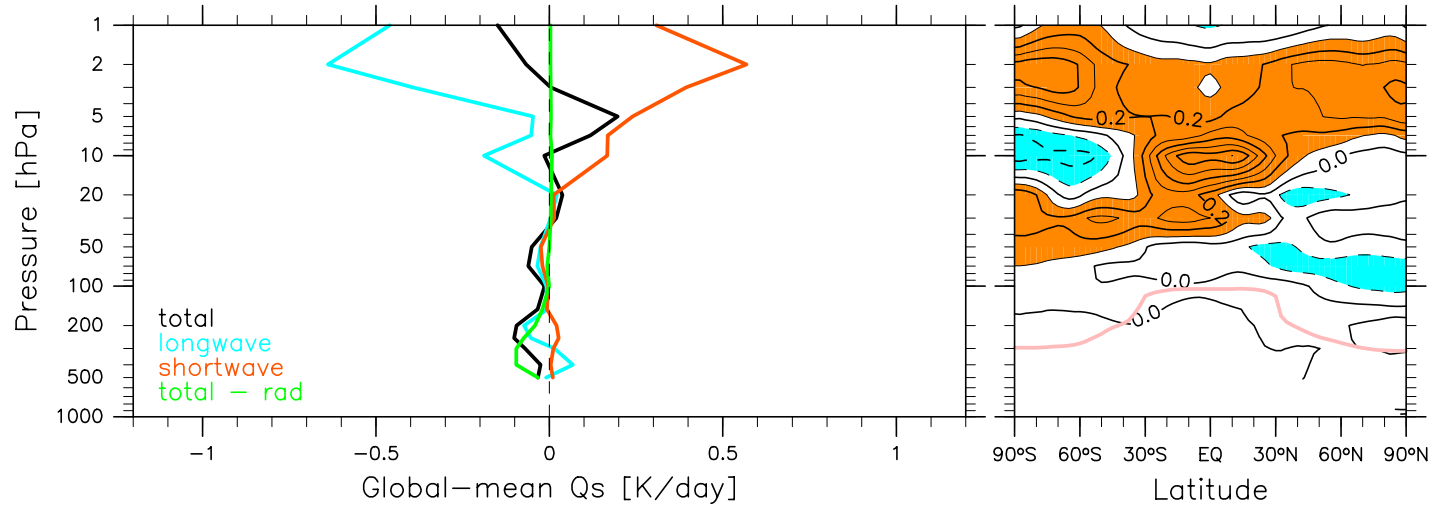
(c)  $Q_{shortwave}$  [K/d]

(d)  $Q_{total} - Q_{rad}$  [K/d]



(e) Global-mean  $Q_s$  [K/d]

(f) Ozone [ppmv]



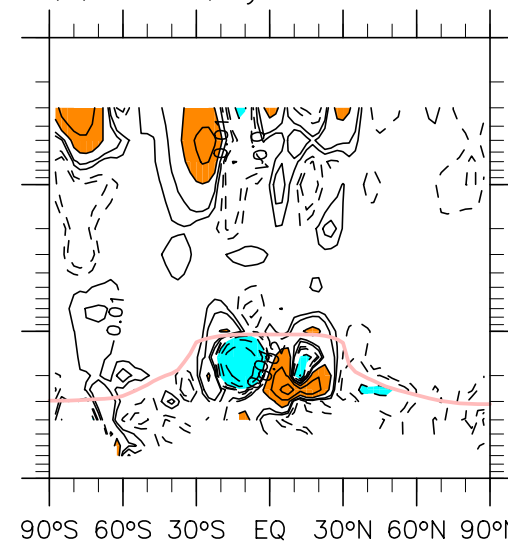
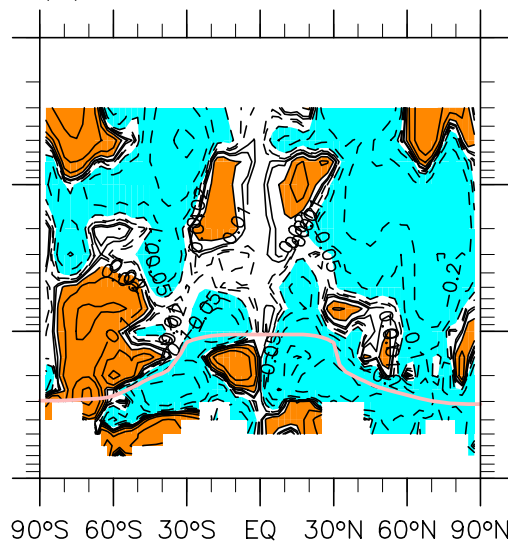
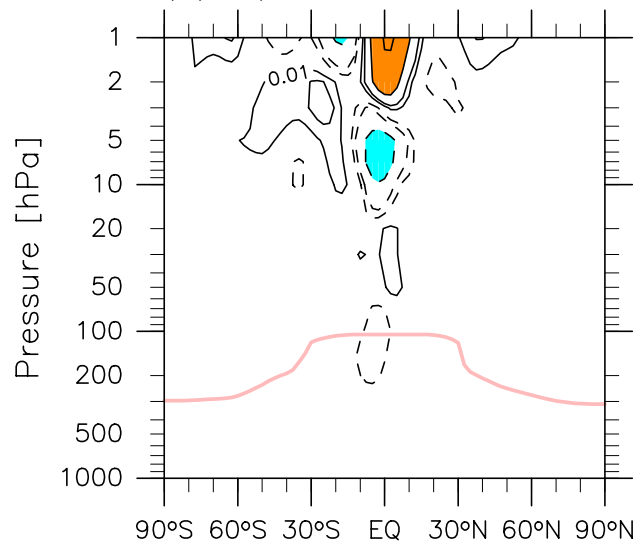
MAM (81-10)

CFSR - REM

(a)  $\partial u / \partial t$

(b)  $+fv^*$

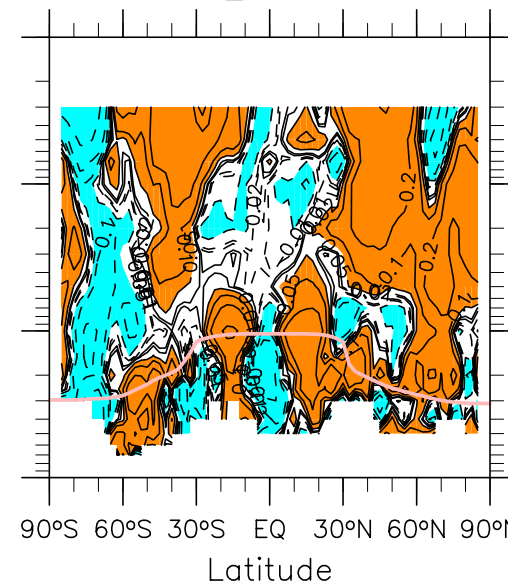
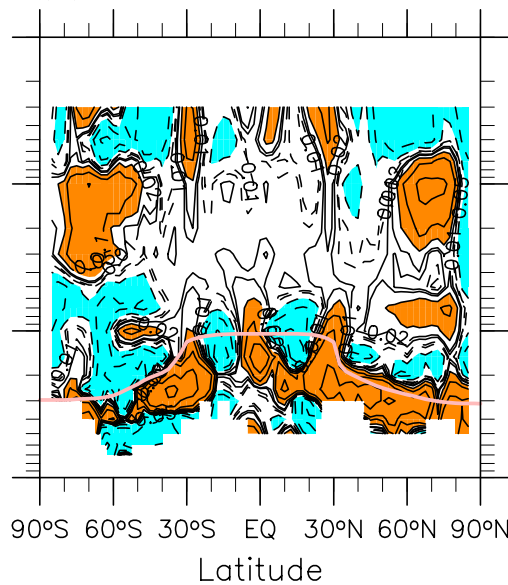
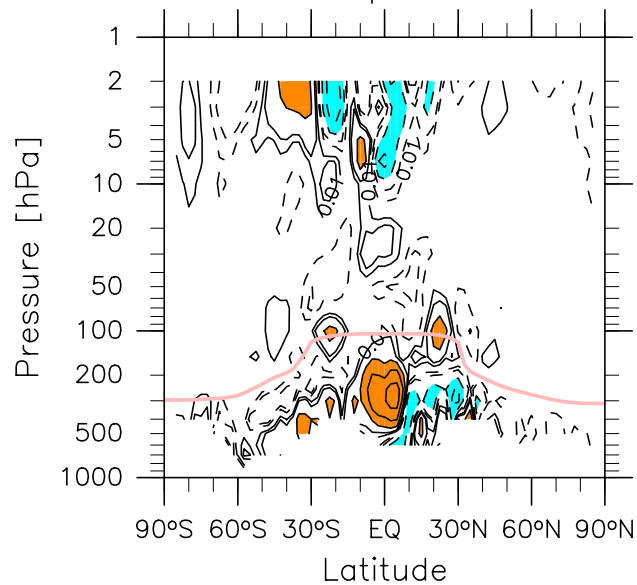
(c)  $-v^* \partial u / \partial y$



(d)  $-\omega^* \partial u / \partial p$

(e) EPFD

(f) Residual\_u



Pressure [hPa]

90°S 60°S 30°S EQ 30°N 60°N 90°N

Latitude

90°S 60°S 30°S EQ 30°N 60°N 90°N

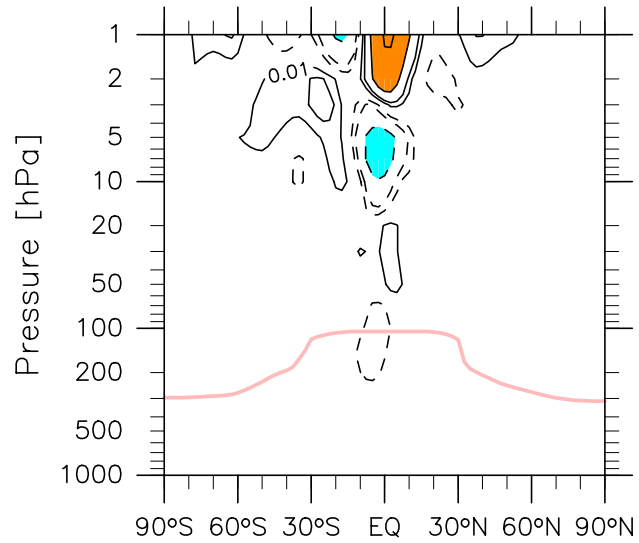
Latitude

90°S 60°S 30°S EQ 30°N 60°N 90°N

Latitude

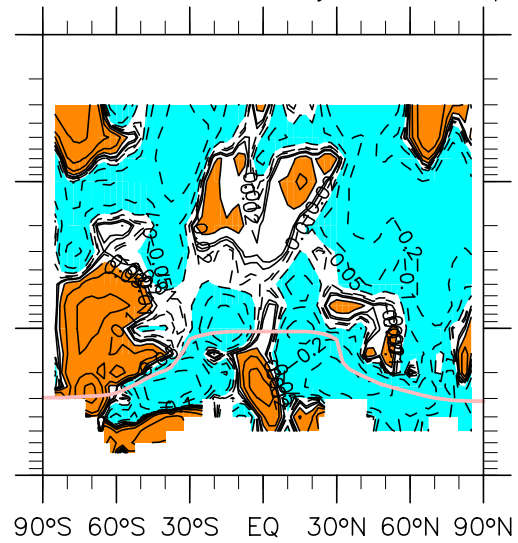
MAM (81-10)

(a)  $\partial u / \partial t$

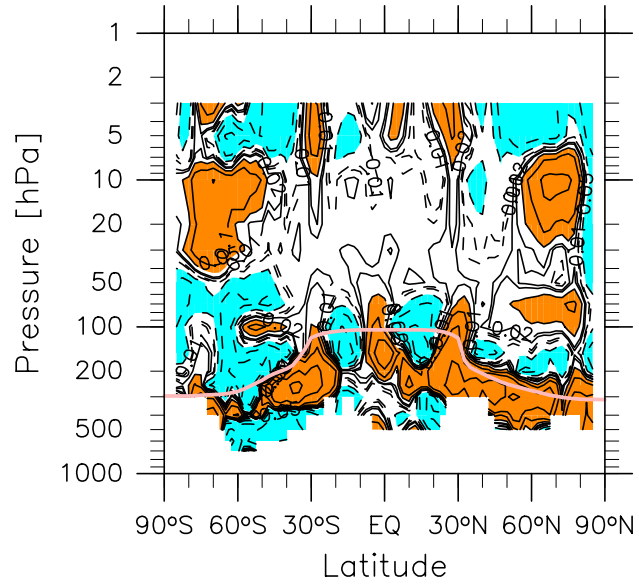


CFSR - REM

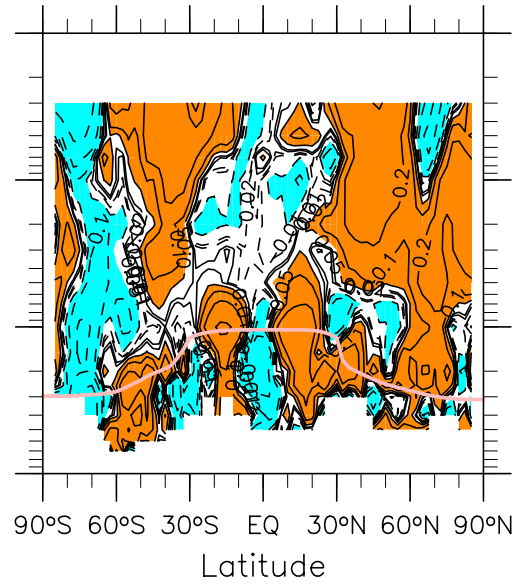
(b)  $+fv^* - v^* \partial u / \partial y - \omega^* \partial u / \partial p$



(c) EPFD



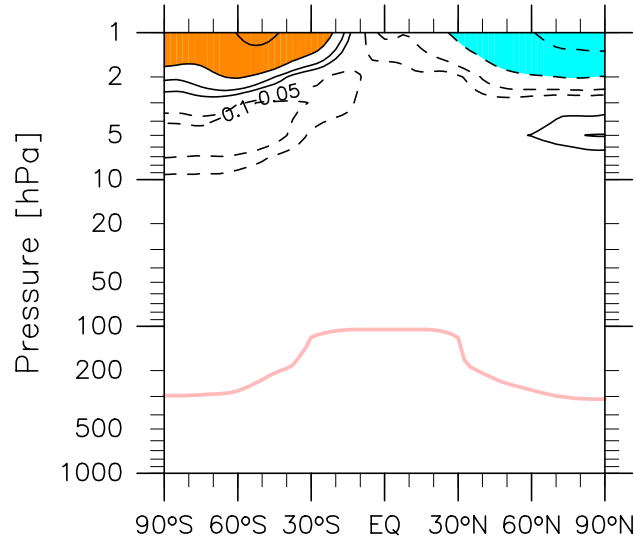
(d) Residual\_u



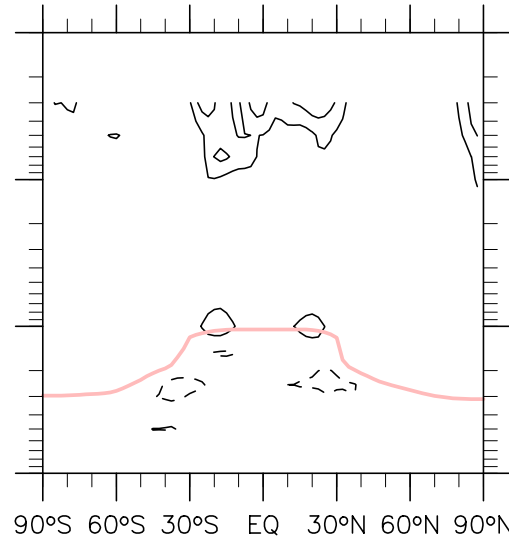
MAM (81-10)

CFSR - REM

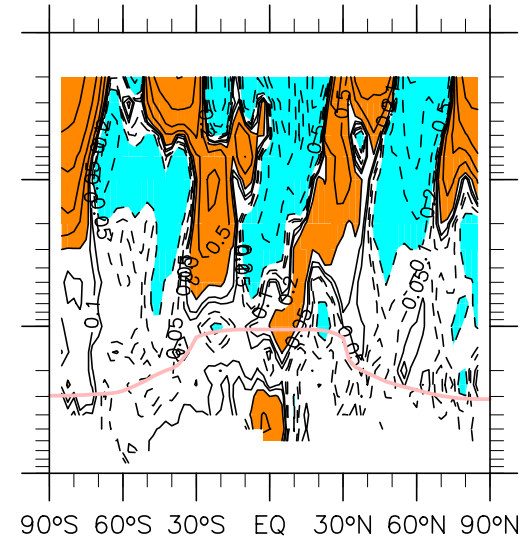
(a)  $\partial\theta/\partial t$



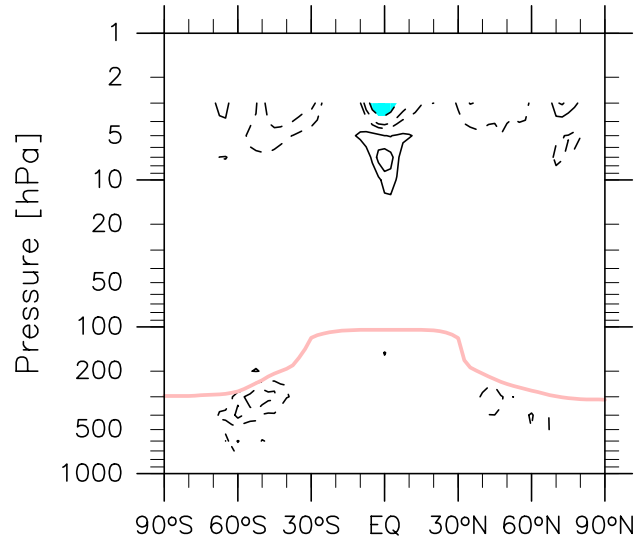
(b)  $-v^* \partial\theta/\partial y$



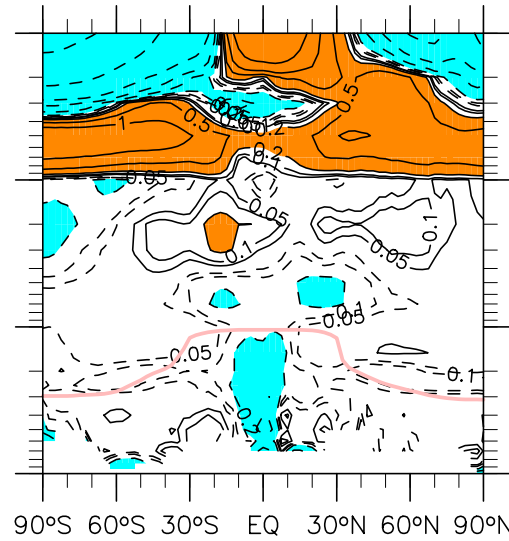
(c)  $-\omega^* \partial\theta/\partial p$



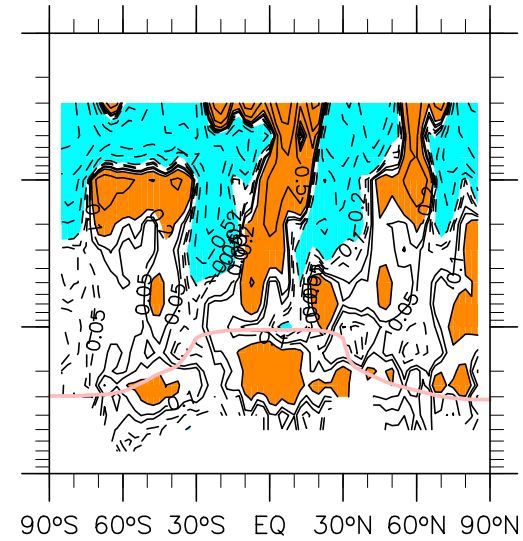
(d) TEM-thermo flux term



(e)  $Q_{total}$



(f) Residual\_θ



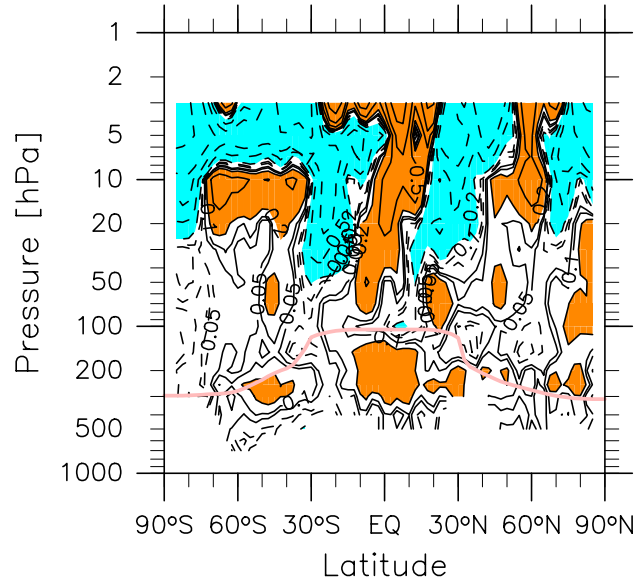
Latitude

Latitude

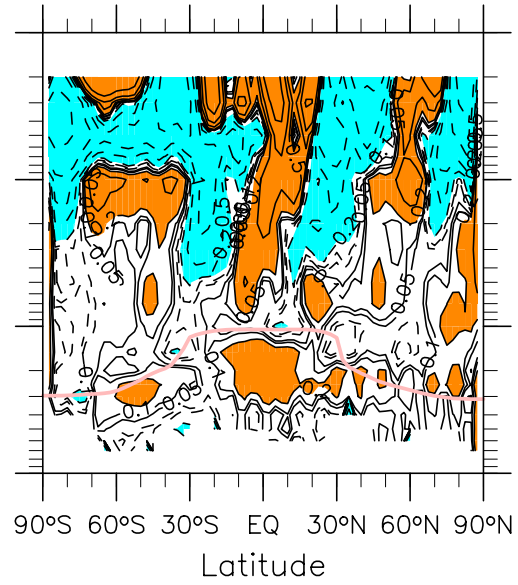
Latitude

MAM (81–10)

(a) Residual\_ $\theta$  (TEM)



(b) Residual\_ $\theta$  (EM)



CFSR — REM

(c) difference (TEM minus EM)

